

P-6264/  
996/33/3-4

ISSN 0021-3470

62

ИЗВЕСТИЯ  
ВЫСШИХ УЧЕБНЫХ  
ЗАВЕДЕНИЙ

153

# РАДИОЭЛЕКТРОНИКА

том 39

3-4

ИЗДАНИЕ  
КИЕВСКОГО  
ПОЛИТЕХНИЧЕСКОГО  
ИНСТИТУТА

, 1996

---

УДК 621.391

ТРИФОНОВ А. П., РОЛДУГИН С. В.

## ПОЗИЦИОННАЯ МОДУЛЯЦИЯ СОСТАВНОЙ ШУМОВОЙ НЕСУЩЕЙ

Выполнен синтез и анализ приемника максимального правдоподобия сигнала с позиционной модуляцией составной шумовой несущей. Общие соотношения конкретизированы для узко-полосной шумовой несущей с колокольной и прямоугольной формами спектра мощности.

Идея использования шумовой несущей предложена в [1]. Установлено, что радиоэлектронные системы при использовании шумовой несущей имеют полезные свойства, такие как устойчивость к замираниям сигнала при распространении, менее подвержены действию организованных помех. Однако широкому применению систем, использующих шумовую несущую, препятствует ряд причин. К ним следует отнести трудности технической реализации устройств обработки сигналов с шумовой несущей. Кроме того, к настоящему времени предложено сравнительно мало способов модуляции шумовой несущей и относительно слабо исследована помехоустойчивость приема таких сигналов.

Большинство известных видов модуляции шумовой несущей сводятся к изменению параметров ее спектра мощности (СМ) при сохранении стационарности передаваемого сигнала. Отказ от сохранения стационарности случайного сигнала в результате его модуляции позволяет существенно расширить возможности практического применения шумовой несущей [2, 3]. В частности, рассматриваемый нестационарный вариант позиционной модуляции составной шумовой несущей позволяет устранить некоторые из трудностей, препятствующих ее использованию. Действительно, оказывается, что практическая реализация устройств формирования и приема сигналов с позиционной модуляцией составной шумовой несущей значительно проще, чем используемая обычно аппаратура формирования и обработки шумоподобных сигналов с аналогичными свойствами [4].

Положим, что несущим колебанием является составной случайный процесс [5]

$$\nu(t, \tau_0) = \xi_1(t) \eta(\tau_0 - t) - \xi_2(t) \eta(t - \tau_0), \quad (1)$$

где  $\xi_i(t)$  — независимые гауссовские центрированные стационарные случайные процессы, обладающие СМ  $G_i(\omega)$ ,  $i=1,2$ ;  $\eta(t) = 1$  при  $t > 0$  и

$\eta(t) = 0$  при  $t < 0$ ,  $\tau_0$  — момент скачкообразного изменения свойств шумовой несущей.

Пусть передаче подлежит безразмерный параметр  $l$ , равномерно распределенный в интервале  $[-1; 1]$ . Передаваемый сигнал  $s(t, l_0)$  будем формировать посредством модуляции параметром  $l$  момента  $\tau$  скачка несущего колебания (1)

$$s(t, l_0) = \xi_1(t) \eta \left[ (l_0 T_0 + T)/2 - t \right] + \xi_2(t) \eta \left[ t - (l_0 T_0 + T)/2 \right]. \quad (2)$$

Здесь  $T$  — длительность интервала наблюдения  $[0; T]$ , а  $T_0$  определяет величину интервала возможных значений момента  $\tau_0$ , причем  $T_0 < T$ , так что  $\tau \in [(T - T_0)/2; (T + T_0)/2]$ . Отметим, что случайный сигнал (2) формируется достаточно просто. Действительно, для получения (2) в обычной схеме формирования составного случайного сигнала [5] достаточно использовать переключающий сигнал  $\lambda(t, l) = \eta \left[ (l T_0 + T)/2 - t \right] - \eta \left[ t - (l T_0 + T)/2 \right]$ .

Полагая, что сигнал (2) принимается на фоне гауссовского белого шума  $n(t)$  с односторонней спектральной плотностью  $N_0$ , для получения оценки  $\hat{l}$  значения передаваемого параметра  $l_0$  используем метод максимального правдоподобия [6]. Приемник максимального правдоподобия (ПМП) должен вырабатывать логарифм функционала отношения правдоподобия [7]

$$L(\tau) = \frac{1}{N_0} \int_0^T \int_0^T x(t_1) x(t_2) \Theta(t_1, t_2, \tau) dt_1 dt_2 - \frac{1}{2} H(\tau). \quad (3)$$

Здесь  $x(t) = v(t, \tau_0) + n(t)$  — реализация наблюдаемых данных,  $\Theta(t_1, t_2, \tau) = \tilde{\Theta}(t_1, t_2, \tau, 1)$ ,

$$H(\tau) = \int_0^1 d\varphi \int_0^T \tilde{\Theta}(t, t, \tau, \varphi) dt, \quad (4)$$

функция  $\tilde{\Theta}(t_1, t_2, \tau, \varphi)$  определяется из решения интегрального уравнения

$$\frac{N_0}{2} \tilde{\Theta}(t_1, t_2, \tau, \varphi) + \varphi \int_0^T \tilde{\Theta}(t_1, t, \tau, \varphi) K_v(t, t_2, \tau) dt = K_v(t_1, t_2, \tau). \quad (5)$$

$$\begin{aligned} K_v(t_1, t_2, \tau) &= \langle v(t_1) v(t_2) \rangle = \\ &= \eta(\tau - t_1) \eta(\tau - t_2) K_1(t_2 - t_1) + \eta(t_1 - \tau) \eta(t_2 - \tau) K_2(t_2 - t_1) \end{aligned} \quad (6)$$

— корреляционная функция шумовой несущей (1), а

$$K_i(t_2 - t_1) = \int_{-\infty}^{+\infty} G_i(\omega) \exp[j\omega(t_2 - t_1)] d\omega / 2\pi \quad (7)$$

— корреляционные функции случайных процессов  $\xi_i(t)$ ,  $i=1,2$ . Будем считать, что интервалы стационарности составной шумовой несущей  $[0; \tau_0]$  и  $[\tau_0; T]$  значительно больше времени корреляции процессов  $\xi_i(t)$ ,  $i=1,2$ . Это всегда имеет место, если выполняется условие

$$\mu \gg 1, \quad (8)$$

где  $\mu = \min \{ \mu_1, \mu_2 \}$ ,  $\mu_i = (T - \tau_0) \Omega_i / 2\pi$ , а

$$\Omega_i = \int_{-\infty}^{+\infty} G_i^2(\omega) d\omega / 2 \sup G_i^2(\omega) \quad (9)$$

— эквивалентная полоса частот шумовой несущей до и после момента  $\tau_0$  изменения ее свойств.

При выполнении (8) решение интегрального уравнения (5) будем искать в форме, структурно подобной корреляционной функции (6) шумовой несущей (1)

$$\begin{aligned} \tilde{\Theta}(t_1, t_2, \tau, \varphi) = & \eta(\tau - t_1) \eta(\tau - t_2) \tilde{\Theta}_1(t_2 - t_1, \varphi) + \\ & + \eta(t_1 - \tau) \eta(t_2 - \tau) \tilde{\Theta}_2(t_2 - t_1, \varphi). \end{aligned} \quad (10)$$

Подставляя (10) в (5), получаем, что уравнение (5) переходит в систему интегральных уравнений

$$\begin{aligned} \frac{N_0}{2} \tilde{\Theta}_1(t_2 - t_1, \varphi) + \varphi \int_0^\tau \tilde{\Theta}_1(t - t_1, \varphi) K_1(t_2 - t) dt &= K_1(t_2 - t_1), \\ \frac{N_0}{2} \tilde{\Theta}_2(t_2 - t_1, \varphi) + \varphi \int_\tau^T \tilde{\Theta}_2(t - t_1, \varphi) K_2(t_2 - t) dt &= K_2(t_2 - t_1). \end{aligned} \quad (11)$$

В силу (8) пределы интегрирования в уравнениях системы (11) можно заменить на бесконечные. В результате получаем интегральные уравнения типа свертки

$$\frac{N_0}{2} \tilde{\Theta}_i(t_2 - t_1, \varphi) + \varphi \int_{-\infty}^{+\infty} \tilde{\Theta}_i(t - t_1, \varphi) K_i(t_2 - t) dt = K_i(t_2 - t_1), \quad i=1,2. \quad (12)$$

Решая систему уравнений (12) с помощью преобразования Фурье, находим

$$\tilde{\Theta}_i(t_2 - t_1, \varphi) = \frac{1}{2\pi} \int_{-\infty}^{+\infty} \frac{g_i(\omega) \exp [j\omega(t_2 - t_1)]}{1 + \varphi g_i(\omega)} d\omega, \quad (13)$$

где  $g_i(\omega) = 2 G_i(\omega) / N_0$ .

Обозначая  $x_1(t, \tau) = \eta(\tau - t)x(t)$ ,  $x_2(t, \tau) = \eta(t - \tau)x(t)$  и, учитывая (10), (13), перепишем (3), (4) как

$$L(\tau) = \frac{1}{N_0} \int_0^T \int_0^T x_1(t_1, \tau) x_1(t_2, \tau) \Theta_1(t_2 - t_1) dt_1 dt_2 + \\ + \frac{1}{N_0} \int_0^T \int_0^T x_2(t_1, \tau) x_2(t_2, \tau) \Theta_2(t_2 - t_1) dt_1 dt_2 - \tau H_0 - TH. \quad (14)$$

Здесь

$$\Theta_i(t_2 - t_1) = \tilde{\Theta}_i(t_2 - t_1, 1), \quad H = \int_{-\infty}^{+\infty} \ln \left[ 1 + g_2(\omega) \right] d\omega / 4\pi,$$

$$H_0 = \int_{-\infty}^{+\infty} \ln \left\{ \left[ 1 + g_1(\omega) \right] / \left[ 1 + g_2(\omega) \right] \right\} d\omega / 4\pi.$$

Аппаратурная реализация ПМП согласно (3), (14) наталкивается на существенные трудности, связанные с формированием квадратичных функционалов от реализации наблюдаемых данных для всех значений  $\tau \in [(T - T_0)/2; (T + T_0)/2]$ . Поэтому, учитывая (8), преобразуем (14) так, как это сделано в [3, 7]. Выразим функции  $\Theta_i(t_2 - t_1)$  через их спектр

$$\Theta_i(t_2 - t_1) = \frac{1}{2\pi} \int_{-\infty}^{+\infty} \Theta_i(\omega) \exp [j\omega(t_2 - t_1)] d\omega, \quad (15)$$

$$\Theta_i(\omega) = g_i(\omega) / [1 + g_i(\omega)]. \quad (16)$$

Подставляя (15) в (14), получаем

$$L(\tau) = \frac{1}{2\pi N_0} \left[ \int_{-\infty}^{+\infty} |x_1(\omega)|^2 \Theta_1(\omega) d\omega + \int_{-\infty}^{+\infty} |x_2(\omega)|^2 \Theta_2(\omega) d\omega \right] - \\ - \tau H_0 - TH = \frac{1}{2\pi N_0} \int_{-\infty}^{+\infty} \left[ |\tilde{y}_1(\omega)|^2 + |\tilde{y}_2(\omega)|^2 \right] d\omega - \tau H_0 - TH. \quad (17)$$

Здесь  $\tilde{y}_i(\omega) = x_i(\omega) H_i(\omega)$ , причем

$$|H_i(\omega)|^2 = \Theta_i(\omega), \quad (18)$$

$$x_i(\omega) = \int_0^T x_i(t, \tau) \exp [-j\omega t] dt, \quad i=1,2.$$

Используя теорему Парсеваля, перепишем (17) в виде

$$L(\tau) = \frac{1}{N_0} \int_0^T [ \tilde{y}_1^2(t, \tau) + \tilde{y}_2^2(t, \tau) ] dt - \tau H_0 - TH, \quad (19)$$

где

$$\tilde{y}_i(t, \tau) = \int_{-\infty}^{+\infty} x_i(\omega) H_i(\omega) \exp(j\omega t) d\omega / 2\pi = \int_{-\infty}^{+\infty} x_i(t', \tau) H_i(t - t') dt', \quad (20)$$

$$H_i(t) = \int_{-\infty}^{+\infty} H_i(\omega) \exp(j\omega t) d\omega / 2\pi. \quad (21)$$

Структуру ПМП (19) можно существенно упростить, если пренебречь ошибками измерения параметра  $\tau$  шумовой несущей (1) порядка времени корреляции процессов  $\xi_i(t)$ , т. е. порядка  $2\pi/\Omega_i$ . Такое пренебрежение допустимо, если величины  $q_i = \sup g_i(\omega)$  не слишком велики [2,3,7]. Обозначим через  $\tilde{\Omega}_i$  эквивалентную полосу пропускания фильтров с импульсной переходной функцией  $H_i(t)$  (21). Согласно (16), (18), всегда  $\tilde{\Omega}_i \geq \Omega_i$ . Следовательно, длительности переходных процессов фильтров  $H_i(t)$  не превышают времен корреляции процессов  $\xi_i(t)$ . Поэтому, учитывая (8), можем приближенно переписать (20) как

$$\tilde{y}_1(t, \tau) \approx \eta(\tau - t) \int_{-\infty}^{+\infty} x(t') H_1(t - t') dt' = \eta(\tau - t) y_1(t),$$

$$\tilde{y}_2(t, \tau) \approx \eta(\tau - t) \int_{-\infty}^{+\infty} x(t') H_2(t - t') dt' = \eta(\tau - t) y_2(t). \quad (22)$$

Функции  $\tilde{y}_1(t, \tau)$  и  $\eta(\tau - t) y_1(t)$  могут существенно отличаться лишь на интервалах времени порядка  $2\pi/\tilde{\Omega}_1$ . Поскольку  $2\pi/\tilde{\Omega}_1 \leq 2\pi/\Omega_1$ , то в силу (8), этим различием будем пренебрегать. Аналогичный вывод справедлив для  $\tilde{y}_2(t, \tau)$ . Подставляя (22) в (19), получаем

$$L(\tau) \approx \frac{1}{N_0} \int_0^\tau y_1^2(t) dt + \frac{1}{N_0} \int_\tau^T y_2^2(t) dt - \tau H_0 - TH =$$

$$= \frac{1}{N_0} \int_0^\tau [y_1^2(t) - y_2^2(t)] dt + \frac{1}{N_0} \int_0^T y_2^2(t) dt - \tau H_0 - TH. \quad (23)$$

Опуская в (23) слагаемые, не зависящие от  $\tau$ , приходим к выражению для выходного сигнала ПМП

$$L_0(\tau) = \frac{1}{N_0} \int_0^\tau [y_1^2(t) - y_2^2(t) - N_0 H_0] dt. \quad (24)$$

Реализация ПМП согласно (24) существенно проще, чем согласно (14) или (19). Действительно, на основе (24) ПМП может быть реализован в виде, показанном на рис. 1, где 1, 2 — линейные фильтры с импульсными переходными функциями  $H_1(t)$  и  $H_2(t)$  соответственно, 3 — квадраторы, 4 — решающее устройство, которое определяет положение  $\hat{\tau}$  абсолютного (наибольшего) максимума (24) при  $\tau \in [(T - T_0)/2; (T + T_0)/2]$  и, в соответствии с линейным преобразованием

$$\hat{\tau} = (2\hat{l} - T) / T_0, \quad (25)$$

вырабатывает оценку максимального правдоподобия (ОМП) передаваемого параметра  $l_0$ .

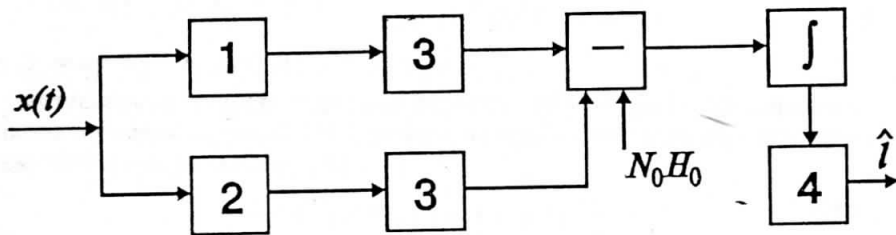


Рис. 1

При выполнении (8) выходной сигнал ПМП (24) можно приближенно считать гауссовским случайным процессом [5]. Поэтому ограничимся определением первых двух моментов функции (24). С этой целью представим выходной сигнал ПМП в виде суммы сигнальной и шумовой функций [6]  $L_0(\tau) = S(\tau) + N(\tau)$ , где  $S(\tau) = \langle L_0(\tau) \rangle$ ,  $N(\tau) = L_0(\tau) - \langle L_0(\tau) \rangle$ , а усреднение выполняется по реализациям наблюдаемых данных при фиксированном истинном значении  $\tau_0 = (l_0 T_0 + T) / 2$  оцениваемого параметра.

Подставляя в (24) реализацию наблюдаемых данных, выполняя усреднение и преобразуя полученные выражения аналогично (22), имеем

$$S(\tau) = (a_1 + a_2) \min(\tau, \tau_0) - a_2 \tau, \quad (26)$$

$$B(\tau_1, \tau_2) = \langle N(\tau_1) N(\tau_2) \rangle = b_2 \min(\tau_1, \tau_2) + (b_1 - b_2) \min(\tau_1, \tau_2, \tau_0), \quad (27)$$

где

$$a_1 = \frac{1}{4\pi} \int_{-\infty}^{+\infty} \frac{g_1(\omega) - g_2(\omega)}{1 + g_2(\omega)} d\omega - H_0, \quad a_2 = H_0 - \frac{1}{4\pi} \int_{-\infty}^{+\infty} \frac{g_1(\omega) - g_2(\omega)}{1 + g_1(\omega)} d\omega,$$

$$b_1 = \frac{1}{4\pi} \int_{-\infty}^{+\infty} \left[ \frac{g_1(\omega) - g_2(\omega)}{1 + g_2(\omega)} \right]^2 d\omega, \quad b_2 = \frac{1}{4\pi} \int_{-\infty}^{+\infty} \left[ \frac{g_1(\omega) - g_2(\omega)}{1 + g_1(\omega)} \right]^2 d\omega.$$

Согласно (26), (27) у сигнальной функции и корреляционной функции шумовой функции не существует второй производной по оцениваемому параметру при  $\tau = \tau_1 = \tau_2 = \tau_0$ . Следовательно, составная шумовая несущая (1) является разрывной по параметру  $\tau$ . Соответственно, сигнал (2) является разрывным по передаваемому параметру  $l$ . Найти рассеяние (средний квадрат ошибки) ОМП в этом случае можно с помощью метода локально-марковской аппроксимации [8]. Используя метод локально-марковской аппроксимации и учитывая (25), получаем

$$V(\hat{l}) = \langle (\hat{l} - l_0)^2 \rangle = 2 \frac{Q_1^2 R (5 + 6R + 2R^2) + Q_2^2 (2 + 6R + 5R^2)}{Q_1^2 Q_2^2 (1 + R)^3}, \quad (28)$$

где  $Q_i = a_i^2 T_0 / b_i$ ,  $i=1,2$ ;  $R = a_1 b_2 / a_2 b_1$ .

Помехоустойчивость передачи значения параметра  $l$  с помощью составной шумовой несущей (1) будем характеризовать выходным отношением сигнал—шум (ОСШ) [9]

$$\varepsilon^2 = \langle l^2 \rangle / V(\hat{l}) = 1 / 3V(\hat{l}). \quad (29)$$

Рассмотрим подробнее практически важный случай, когда СМ шумовой несущей существенно меньше спектральной плотности белого шума, т. е.

$$g_i(\omega) \ll 1, \quad i=1,2. \quad (30)$$

При выполнении этого условия повышается степень скрытности передачи информации с помощью шумовой несущей, а выражение для выходного ОСШ (29) заметно упрощается и принимает вид

$$\begin{aligned} \varepsilon^2 &\approx T_0^2 \left\{ \int_{-\infty}^{+\infty} [g_1(\omega) - g_2(\omega)]^2 d\omega \right\}^2 / 4992\pi^2 = \\ &= T_0^2 \left\{ \int_{-\infty}^{+\infty} [K_1(\tau) - K_2(\tau)]^2 d\tau \right\}^2 / 78 N_0^4. \end{aligned} \quad (31)$$

Согласно (31) помехоустойчивость передачи значения параметра  $l$  с помощью составной шумовой несущей (1) определяется величиной среднего

квадрата разности СМ или корреляционных функций (7) шумовой несущей до и после момента  $\tau$  изменения ее свойств. Выражения (29), (31) позволяют выбрать формы СМ или корреляционных функций, которые обеспечивают наибольшую помехоустойчивость.

Конкретизируем общие соотношения для часто встречающегося в практических приложениях случая узкополосной шумовой несущей, обладающей СМ вида [5]

$$G_i(\omega) = \frac{\gamma_i}{2} \left[ f_i \left( \frac{\nu_i - \omega}{\Omega_i} \right) + f_i \left( \frac{\nu_i + \omega}{\Omega_i} \right) \right], \quad i=1,2. \quad (32)$$

Здесь  $f_i(x)$  описывает форму СМ и удовлетворяет условиям  $f_i(x) = f_i(-x) \geq 0$ ,  $\int_{-\infty}^{+\infty} f_i^2(x) dx = 1$ ,  $\max f_i(x) = 1$ ,  $\Omega_i$  — эквивалентная полоса частот шумовой несущей (9),  $\nu_i$  — центральная частота СМ, причем  $\Omega_i \ll \nu_i$ ,  $i=1,2$ . Для узкополосной шумовой несущей, амплитудно-частотные характеристики фильтров 1 и 2 на рис. 1, согласно (16), (18) и (32), можно записать в виде

$$|H_i(\omega)| = \Psi_i \left[ (\nu_i - \omega) / \Omega_i \right] + \Psi_i \left[ (\nu_i + \omega) / \Omega_i \right],$$

где  $\Psi_i(x) = \{q_i f_i(x) / [1 + q_i f_i(x)]\}^{1/2}$ ,  $q_i = \gamma_i / N_0$ ,  $i=1,2$ .

Подставляя (32) в (31) для выходного ОСШ при выполнении (30) получаем выражение

$$\varepsilon^2 = \mu_0^2 q_1^4 \left[ 1 + \chi_\gamma^2 \chi_\Omega - 2 \chi_\gamma \chi_\Omega \rho(\delta_\nu) \right]^2 / 312, \quad (33)$$

где обозначено  $\mu_0 = T_0 \Omega_1 / 2\pi$ ,  $\chi_\gamma = \gamma_2 / \gamma_1$ ,  $\chi_\Omega = \Omega_2 / \Omega_1$ ,  $\delta_\nu = (\nu_2 - \nu_1) / \Omega_1$ , а

$$\rho(\delta_\nu) = \int_{-\infty}^{+\infty} f_1(x) \chi_\Omega - \delta_\nu f_2(x) dx. \quad (34)$$

Пусть СМ (32) составной шумовой несущей (1) имеют одинаковую колокольную форму, т. е.

$$f_1(x) = f_2(x) = \exp \left[ -\pi x^2 / 2 \right]. \quad (35)$$

Тогда в (33) надо подставить функцию (34) вида  $\rho(\delta_\nu) = \sqrt{2/(1 + \chi_\Omega^2)} \times \exp [-\pi \delta_\nu^2 / 2 (1 + \chi_\Omega^2)]$ . Если же СМ (32) шумовой несущей имеют одинаковую прямоугольную форму, т. е.

$$f_1(x) = f_2(x) = \begin{cases} 1, & |x| \leq 1/2, \\ 0, & |x| > 1/2, \end{cases} \quad (36)$$

то в (33) надо подставить функцию (34) вида

$$\rho(\delta_\nu) = \frac{1}{\chi_\Omega} \begin{cases} 0, & |\delta_\nu| \geq (\chi_\Omega + 1)/2, \\ (\chi_\Omega + 1)/2 - |\delta_\nu|, & |\chi_\Omega - 1|/2 \leq |\delta_\nu| \leq (\chi_\Omega + 1)/2, \\ \min(1, \chi_\Omega), & |\delta_\nu| \leq |\chi_\Omega - 1|/2, \end{cases} \quad (37)$$

На рис. 2...5 приведены значения нормированного выходного ОСШ  $\varepsilon_0^2 = 312 \varepsilon^2 / \mu_0^2 q_1^4$ , показанные сплошными линиями для шумовой несущей с колокольной формой СМ (35) и штриховыми — для прямоугольной формы СМ (40). На рис. 2 представлены зависимости  $\varepsilon_0^2(\chi_y)$  при  $\delta_\nu = 0$  и различных значениях  $\chi_\Omega$ . Кривые 1 показывают зависимость  $\varepsilon_0^2(\chi_y)$  при  $\chi_\Omega = 0.5$ ; 2 —  $\chi_\Omega = 2.0$ ; 3 —  $\chi_\Omega = 2.5$ . Кривая 4 показывает зависимость  $\varepsilon_0^2(\chi_y)$  при  $\chi_\Omega = 1.0$  для обеих форм СМ шумовой несущей (35), (36). На рис. 3 показаны зависимости  $\varepsilon_0^2(\chi_y)$  при  $\chi_\Omega = 1.0$  и  $\delta_\nu = 0.5$  (кривые 1);  $\delta_\nu = 1.0$  (кривые 2) и  $\delta_\nu = 2.0$  (кривые 3). Отметим, что кривая 2 одновременно показывает выходные ОСШ для прямоугольной формы СМ при  $\delta_\nu = 1.0$  и  $\delta_\nu = 2.0$ . Действительно, из (37) следует, что при  $\chi_\Omega = 1.0$  и  $\delta_\nu \geq 1.0$  имеем  $\rho(\delta_\nu) = 0$ . Таким образом, при прямоугольной форме СМ (36) увеличение  $\delta_\nu$  сверх значения  $\delta_\nu = 1.0$  не может привести к увеличению ОСШ (33).

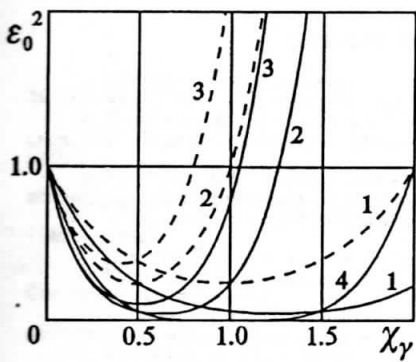


Рис. 2

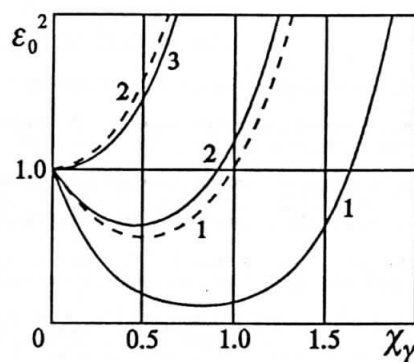


Рис. 3

На рис. 4 приведены зависимости  $\varepsilon_0^2(\delta_\nu)$  при  $\chi_y = 1.0$ . Кривые 1 рассчитаны при  $\chi_\Omega = 0.5$ ; 2 —  $\chi_\Omega = 1.0$ ; 3 —  $\chi_\Omega = 2.0$ . На рис. 5 пока-

заны зависимости  $\varepsilon_0^2(\delta_\nu)$  при  $\chi_\Omega = 1.0$ . Кривые 1 построены при  $\chi_y = 0.5$ ; 2 —  $\chi_y = 1.5$ ; 3 —  $\chi_y = 2.0$ ; 4 —  $\chi_y = 2.5$ .

Приведенные на рис. 2...5 зависимости позволяют определить помехоустойчивость позиционной модуляции составной шумовой несущей, в зависимости от характера изменения ее параметров. Сопоставление сплошных и штриховых кривых на рис. 2...5 показывает, что шумовая несущая с прямоугольной формой СМ (36) обладает несколько более высокой помехоустойчивостью, чем шумовая несущая с колокольной формой СМ (35).

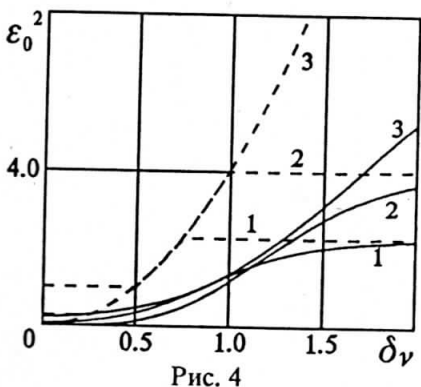


Рис. 4

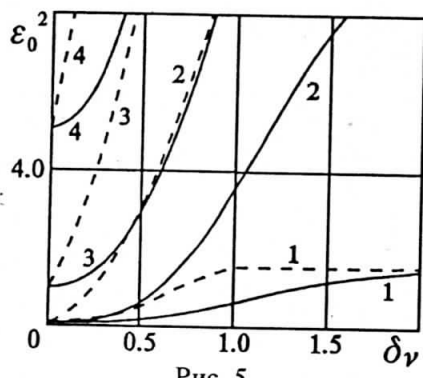


Рис. 5

Приведенные результаты получены при финансовой поддержке Российского фонда фундаментальных исследований.

#### БИБЛИОГРАФИЧЕСКИЙ СПИСОК

1. Харкевич А. А. Передача сигналов модулированным шумом. — Избранные труды. — М. : Наука, 1973. — Т. 2. — С. 524—529.
2. Трифонов А. П., Парфенов В. И. Прием случайного частотно-манипулированного сигнала // Радиоэлектроника. — 1988. — Т. 31. — № 7. — С. 3—8. (Изв. высш. учеб. заведений).
3. Трифонов А. П., Парфенов В. И. Импульсная частотно-временная модуляция шумовой несущей // Радиотехника и электроника, 1988. — Т. 33. — № 1. — С. 87—95.
4. Варакин Л. Е. Системы связи с шумоподобными сигналами. — М. : Радио и связь, 1985. — 384 с.
5. Тихонов В. И. Статистическая радиотехника. — М. : Радио и связь, 1982. — 624 с.
6. Куликов Е. И., Трифонов А. П. Оценка параметров сигналов на фоне помех. — М. : Сов. радио, 1978. — 296 с.
7. Трифонов А. П., Нечаев Е. П., Парфенов В. И. Обнаружение стохастических сигналов с неизвестными параметрами. — Воронеж. ВГУ, 1991. — 246 с.
8. Трифонов А. П., Шинаков Ю. С. Совместное различение сигналов и оценка их параметров на фоне помех. — М. : Радио и связь, 1986. — 264 с.
9. Возенкрафт Дж., Джекобс И. Теоретические основы техники связи. — М. : Мир, 1969. — 640 с.